

# Starkniederschlagshöhen und -spenden gemäß KOSTRA-DWD-2020

## Rasterfeld 95106

(Zeile 95, Spalte 106)

### Regenspende und Bemessungsniederschlagswerte in Abhängigkeit von Wiederkehrzeit T und Dauerstufe D

| Dauerstufe D |     | Wiederkehrzeit T |            |      |            |      |            |      |            |      |            |       |            |       |            |       |            |       |            |
|--------------|-----|------------------|------------|------|------------|------|------------|------|------------|------|------------|-------|------------|-------|------------|-------|------------|-------|------------|
|              |     | 1 a              |            | 2 a  |            | 3 a  |            | 5 a  |            | 10 a |            | 20 a  |            | 30 a  |            | 50 a  |            | 100 a |            |
| min          | Std | mm               | l / (s ha) | mm   | l / (s ha) | mm   | l / (s ha) | mm   | l / (s ha) | mm   | l / (s ha) | mm    | l / (s ha) | mm    | l / (s ha) | mm    | l / (s ha) | mm    | l / (s ha) |
| 5            |     | 7,0              | 233,3      | 8,8  | 293,3      | 9,8  | 326,7      | 11,2 | 373,3      | 13,2 | 440,0      | 15,3  | 510,0      | 16,6  | 553,3      | 18,4  | 613,3      | 20,9  | 696,7      |
| 10           |     | 8,9              | 148,3      | 11,1 | 185,0      | 12,5 | 208,3      | 14,2 | 236,7      | 16,8 | 280,0      | 19,4  | 323,3      | 21,1  | 351,7      | 23,4  | 390,0      | 26,6  | 443,3      |
| 15           |     | 10,1             | 112,2      | 12,6 | 140,0      | 14,1 | 156,7      | 16,1 | 178,9      | 19,0 | 211,1      | 21,9  | 243,3      | 23,9  | 265,6      | 26,4  | 293,3      | 30,1  | 334,4      |
| 20           |     | 11,0             | 91,7       | 13,7 | 114,2      | 15,3 | 127,5      | 17,5 | 145,8      | 20,6 | 171,7      | 23,8  | 198,3      | 25,9  | 215,8      | 28,7  | 239,2      | 32,6  | 271,7      |
| 30           |     | 12,3             | 68,3       | 15,2 | 84,4       | 17,1 | 95,0       | 19,5 | 108,3      | 23,0 | 127,8      | 26,6  | 147,8      | 28,9  | 160,6      | 32,0  | 177,8      | 36,4  | 202,2      |
| 45           |     | 13,6             | 50,4       | 17,0 | 63,0       | 19,0 | 70,4       | 21,7 | 80,4       | 25,6 | 94,8       | 29,6  | 109,6      | 32,2  | 119,3      | 35,6  | 131,9      | 40,5  | 150,0      |
| 60           | 1   | 14,7             | 40,8       | 18,2 | 50,6       | 20,4 | 56,7       | 23,3 | 64,7       | 27,5 | 76,4       | 31,8  | 88,3       | 34,6  | 96,1       | 38,3  | 106,4      | 43,6  | 121,1      |
| 90           | 1,5 | 16,3             | 30,2       | 20,2 | 37,4       | 22,6 | 41,9       | 25,8 | 47,8       | 30,4 | 56,3       | 35,2  | 65,2       | 38,3  | 70,9       | 42,4  | 78,5       | 48,3  | 89,4       |
| 120          | 2   | 17,4             | 24,2       | 21,7 | 30,1       | 24,3 | 33,8       | 27,7 | 38,5       | 32,7 | 45,4       | 37,8  | 52,5       | 41,1  | 57,1       | 45,5  | 63,2       | 51,8  | 71,9       |
| 180          | 3   | 19,3             | 17,9       | 23,9 | 22,1       | 26,8 | 24,8       | 30,6 | 28,3       | 36,1 | 33,4       | 41,7  | 38,6       | 45,4  | 42,0       | 50,3  | 46,6       | 57,2  | 53,0       |
| 240          | 4   | 20,7             | 14,4       | 25,7 | 17,8       | 28,8 | 20,0       | 32,8 | 22,8       | 38,7 | 26,9       | 44,8  | 31,1       | 48,7  | 33,8       | 53,9  | 37,4       | 61,3  | 42,6       |
| 360          | 6   | 22,8             | 10,6       | 28,3 | 13,1       | 31,7 | 14,7       | 36,2 | 16,8       | 42,7 | 19,8       | 49,4  | 22,9       | 53,7  | 24,9       | 59,4  | 27,5       | 67,6  | 31,3       |
| 540          | 9   | 25,1             | 7,7        | 31,2 | 9,6        | 35,0 | 10,8       | 39,9 | 12,3       | 47,1 | 14,5       | 54,4  | 16,8       | 59,2  | 18,3       | 65,5  | 20,2       | 74,6  | 23,0       |
| 720          | 12  | 26,9             | 6,2        | 33,4 | 7,7        | 37,5 | 8,7        | 42,8 | 9,9        | 50,4 | 11,7       | 58,3  | 13,5       | 63,5  | 14,7       | 70,2  | 16,3       | 79,9  | 18,5       |
| 1080         | 18  | 29,7             | 4,6        | 36,8 | 5,7        | 41,3 | 6,4        | 47,1 | 7,3        | 55,6 | 8,6        | 64,2  | 9,9        | 69,9  | 10,8       | 77,4  | 11,9       | 88,1  | 13,6       |
| 1440         | 24  | 31,8             | 3,7        | 39,5 | 4,6        | 44,2 | 5,1        | 50,5 | 5,8        | 59,5 | 6,9        | 68,8  | 8,0        | 74,9  | 8,7        | 82,9  | 9,6        | 94,3  | 10,9       |
| 2880         | 48  | 37,5             | 2,2        | 46,6 | 2,7        | 52,2 | 3,0        | 59,6 | 3,4        | 70,2 | 4,1        | 81,2  | 4,7        | 88,4  | 5,1        | 97,8  | 5,7        | 111,3 | 6,4        |
| 4320         | 72  | 41,3             | 1,6        | 51,3 | 2,0        | 57,5 | 2,2        | 65,6 | 2,5        | 77,4 | 3,0        | 89,5  | 3,5        | 97,4  | 3,8        | 107,8 | 4,2        | 122,6 | 4,7        |
| 5760         | 96  | 44,2             | 1,3        | 55,0 | 1,6        | 61,6 | 1,8        | 70,3 | 2,0        | 82,9 | 2,4        | 95,8  | 2,8        | 104,3 | 3,0        | 115,4 | 3,3        | 131,4 | 3,8        |
| 7200         | 120 | 46,7             | 1,1        | 58,0 | 1,3        | 65,0 | 1,5        | 74,2 | 1,7        | 87,4 | 2,0        | 101,1 | 2,3        | 110,0 | 2,5        | 121,7 | 2,8        | 138,5 | 3,2        |
| 8640         | 144 | 48,7             | 0,9        | 60,5 | 1,2        | 67,9 | 1,3        | 77,5 | 1,5        | 91,3 | 1,8        | 105,6 | 2,0        | 114,9 | 2,2        | 127,2 | 2,5        | 144,7 | 2,8        |
| 10080        | 168 | 50,6             | 0,8        | 62,8 | 1,0        | 70,4 | 1,2        | 80,4 | 1,3        | 94,7 | 1,6        | 109,5 | 1,8        | 119,2 | 2,0        | 131,9 | 2,2        | 150,1 | 2,5        |

# Starkniederschlagshöhen und -spenden gemäß KOSTRA-DWD-2020

## Rasterfeld 95106

(Zeile 95, Spalte 106)

### Örtliche Unsicherheiten in Abhängigkeit von Wiederkehrzeit T und Dauerstufe D

| Dauerstufe D |     | Wiederkehrzeit T |     |     |     |      |      |      |      |       |
|--------------|-----|------------------|-----|-----|-----|------|------|------|------|-------|
|              |     | 1 a              | 2 a | 3 a | 5 a | 10 a | 20 a | 30 a | 50 a | 100 a |
| min          | Std | ± %              | ± % | ± % | ± % | ± %  | ± %  | ± %  | ± %  | ± %   |
| 5            |     | 15               | 16  | 17  | 18  | 19   | 19   | 20   | 20   | 21    |
| 10           |     | 16               | 18  | 19  | 20  | 22   | 23   | 23   | 24   | 24    |
| 15           |     | 17               | 20  | 21  | 22  | 23   | 24   | 25   | 25   | 26    |
| 20           |     | 18               | 20  | 21  | 23  | 24   | 25   | 26   | 26   | 27    |
| 30           |     | 18               | 21  | 22  | 23  | 25   | 26   | 26   | 27   | 27    |
| 45           |     | 18               | 21  | 22  | 23  | 24   | 25   | 26   | 27   | 27    |
| 60           | 1   | 18               | 20  | 21  | 23  | 24   | 25   | 26   | 26   | 27    |
| 90           | 1,5 | 17               | 19  | 20  | 22  | 23   | 24   | 25   | 25   | 26    |
| 120          | 2   | 16               | 18  | 20  | 21  | 22   | 23   | 24   | 24   | 25    |
| 180          | 3   | 15               | 17  | 18  | 20  | 21   | 22   | 23   | 23   | 24    |
| 240          | 4   | 14               | 17  | 18  | 19  | 20   | 21   | 22   | 22   | 23    |
| 360          | 6   | 14               | 16  | 17  | 18  | 19   | 20   | 21   | 21   | 22    |
| 540          | 9   | 14               | 15  | 16  | 17  | 18   | 19   | 20   | 20   | 21    |
| 720          | 12  | 14               | 15  | 16  | 17  | 18   | 18   | 19   | 19   | 20    |
| 1080         | 18  | 15               | 15  | 16  | 16  | 17   | 18   | 18   | 19   | 19    |
| 1440         | 24  | 15               | 16  | 16  | 17  | 17   | 18   | 18   | 19   | 19    |
| 2880         | 48  | 18               | 18  | 18  | 18  | 18   | 19   | 19   | 19   | 20    |
| 4320         | 72  | 20               | 20  | 20  | 20  | 20   | 20   | 20   | 20   | 20    |
| 5760         | 96  | 22               | 21  | 21  | 21  | 21   | 21   | 21   | 21   | 21    |
| 7200         | 120 | 23               | 22  | 22  | 22  | 22   | 22   | 22   | 22   | 22    |
| 8640         | 144 | 24               | 23  | 23  | 23  | 23   | 23   | 23   | 23   | 23    |
| 10080        | 168 | 25               | 24  | 24  | 23  | 23   | 23   | 23   | 23   | 23    |

### Parameter für abweichende T und D

#### Lokationsparameter $\xi$ (Xi)

14,90500026

#### Skalenparameter $\alpha$ (Alpha)

5,0203361

#### Formparameter $\kappa$ (Kappa)

-0,1

#### 1. Koutsoyiannis-Parameter $\theta$ (Theta)

0,01894258

#### 2. Koutsoyiannis-Parameter $\eta$ (Eta)

0,76147988

Parameter für dauerstufenübergreifende Extremwertschätzung nach KOUTSOYIANNIS et al. 1998.

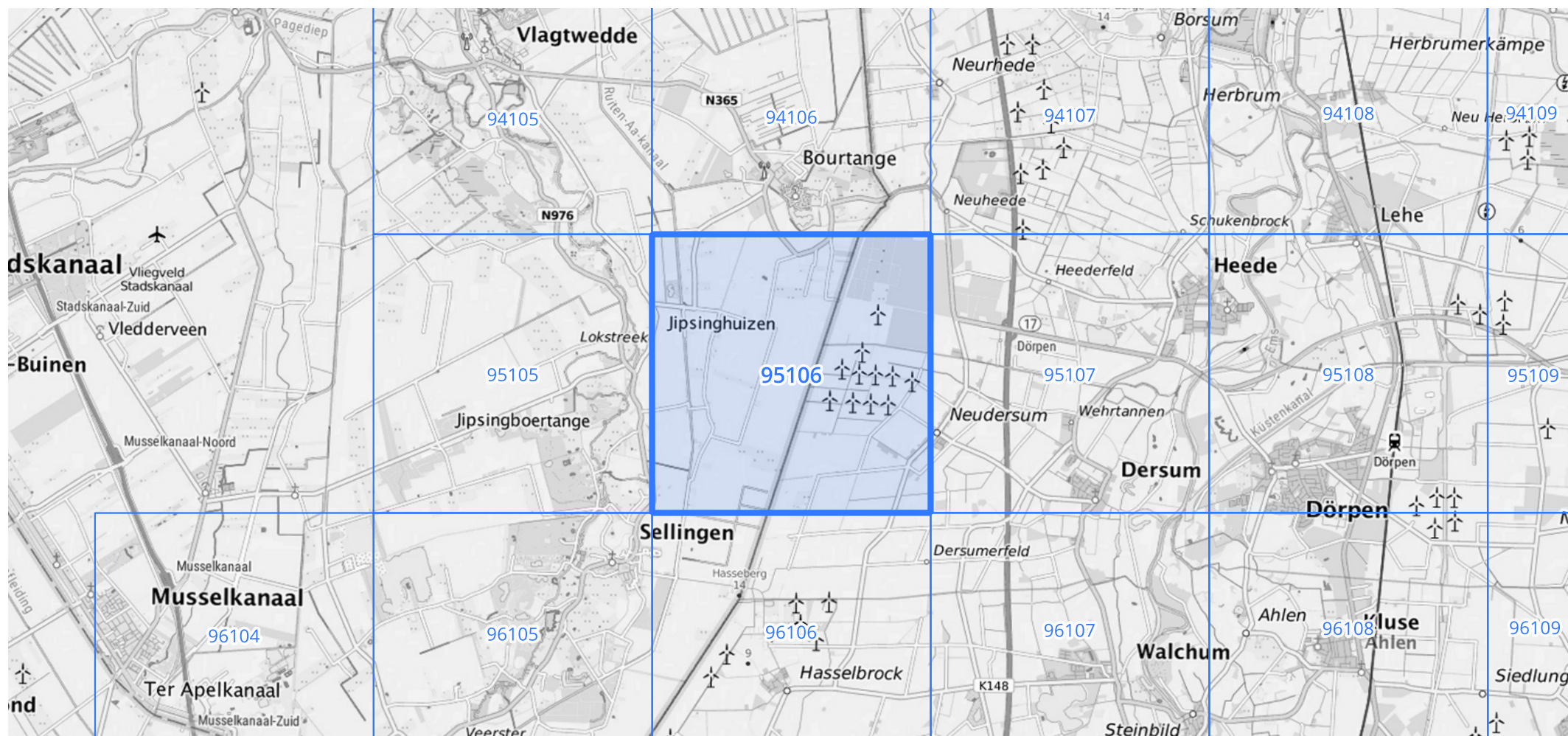
Siehe auch Anwendungshilfe zu KOSTRA-DWD-2020 des Deutschen Wetterdienstes.

# Starkniederschlagshöhen und -spenden gemäß KOSTRA-DWD-2020

## Rasterfeld 95106

(Zeile 95, Spalte 106)

### Übersichtskarte des Rasterfeldes 95106, M 1 : 100 000



Quelle Rasterdaten: KOSTRA-DWD-2020 des Deutschen Wetterdienstes, Stand 12/2022.

Seite 3 von 3

Kartendarstellung: © Bundesamt für Kartographie und Geodäsie (2023), Datenquellen: [https://sgx.geodatenzentrum.de/web\\_public/gdz/datenquellen/Datenquellen\\_TopPlusOpen.html](https://sgx.geodatenzentrum.de/web_public/gdz/datenquellen/Datenquellen_TopPlusOpen.html)

Für die Richtigkeit und Aktualität der Angaben wird keine Gewähr übernommen. Erstellt 01/2023.